

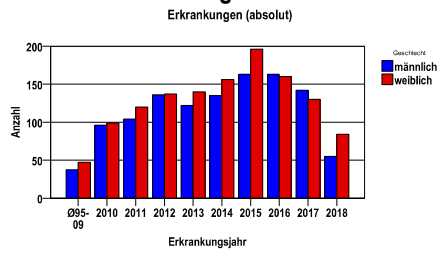
**Neubildungen unsicheren oder unbekanntem Verhaltens D37- D48, exkl. D45, D47.1 und D47.3**

**Durchschnittlich erfasste Erkrankungszahlen**

Zeitraum	Geschlecht	N	rohe Rate	altersstandardisierte Rate (ESR)*	arithm. Alter Jahre	medianes Alter Jahre	Vergleich medianes Alter	Vergleichsquelle
2013 - 2017	männlich	725	34,1	18,5	71,4	75,0	.	
	weiblich	782	35,7	18,3	70,3	75,0	.	

\* europastandardisierte Rate

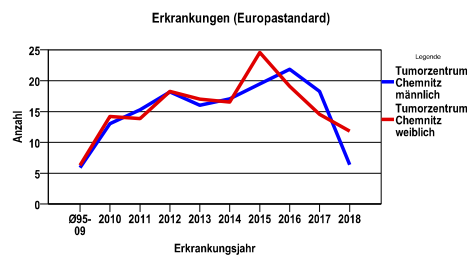
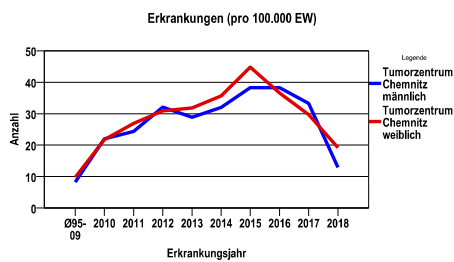
**Anzahl Neuerkrankungen**



**Absolute Neuerkrankungszahlen und Neuerkrankungsraten je 100.000 Einwohner**

Jahr	absolut männlich	absolut weiblich	Rohe Rate männlich	Rohe Rate weiblich	Stand. Rate männlich	Stand. Rate weiblich
2018	55	84	12,9	19,2	6,4	11,8
2017	142	130	33,3	29,7	18,3	14,6
2016	163	160	38,2	36,6	21,9	19,1
2015	163	196	38,2	44,8	19,5	24,6
2014	135	156	32,0	35,6	17,1	16,6
2013	122	140	28,9	31,8	16,0	17,0
2012	136	137	32,0	30,9	18,2	18,3
2011	104	120	24,4	26,9	15,3	13,9
2010	96	99	22,0	21,7	13,0	14,2
095-09	38	47	8,2	9,8	5,9	6,3

Stand. Rate = Europastandard



**Vergleichswerte**

**Vergleichswerte**

**Neubildungen unsicheren oder unbekanntenen Verhaltens D37- D48, exkl. D45, D47.1 und D47.3**

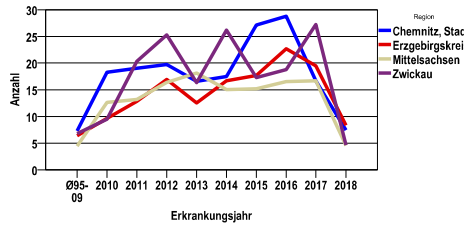
**Zahl der Neuerkrankungen nach Stadt-/Landkreisen**

Tumorzentrum Chemnitz	absolut männlich					absolut weiblich				
	2018	2017	2016	2015	2014	2018	2017	2016	2015	2014
Chemnitz, Stadt	19	36	57	63	37	20	41	65	58	53
Erzgebirgskreis (anteilig 66,8%)	18	40	48	39	38	31	31	48	49	38
Mittelsachsen	15	50	47	47	44	32	44	37	67	49
Zwickau (anteilig 21,7%)	3	16	11	14	16	1	14	10	22	16

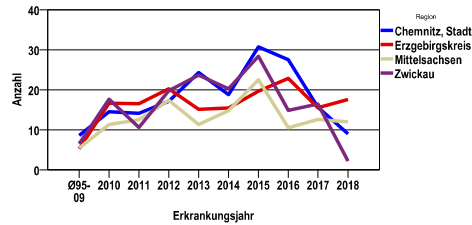
**Neuerkrankungsrate nach Stadt-/Landkreisen (n/100.000 Einwohner), altersstandardisiert (ESR)**

Region	Stand. Rate männlich					Stand. Rate weiblich				
	2018	2017	2016	2015	2014	2018	2017	2016	2015	2014
Chemnitz, Stadt	7,4	16,7	28,8	27,1	17,5	9,0	15,7	27,5	30,7	18,8
Erzgebirgskreis	8,3	19,5	22,7	17,7	16,7	17,5	15,5	22,8	19,6	15,4
Mittelsachsen	4,5	16,7	16,5	15,2	15,0	12,0	12,6	10,5	22,5	14,8
Zwickau	4,6	27,2	18,8	17,3	26,2	2,2	16,4	14,9	28,4	20,2

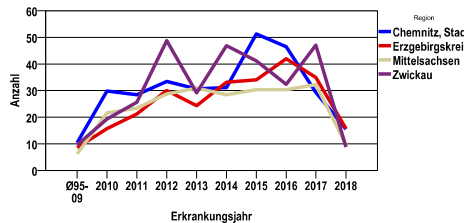
Erkrankungen (Europastandard männlich)



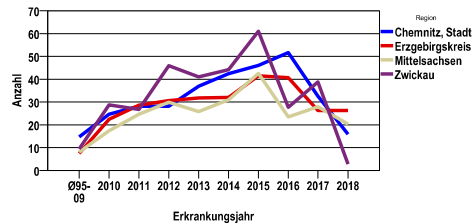
Erkrankungen (Europastandard weiblich)



Erkrankungen (pro 100.000 EW männlich)



Erkrankungen (pro 100.000 EW weiblich)

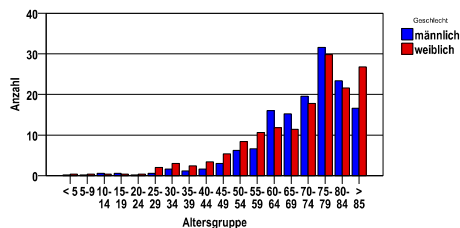


**Diagnosejahre**

2013 bis 2017

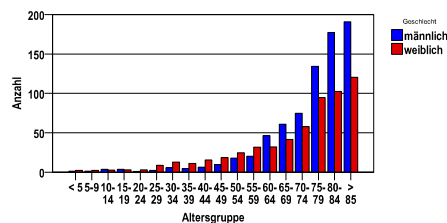
**Neuerkrankungen/Jahr nach Altersgruppen**

Neuerkrankungen pro Jahr



**Neuerkrankungen/100.000 EW nach Altersgruppen**

Neuerkrankungen je 100000EW

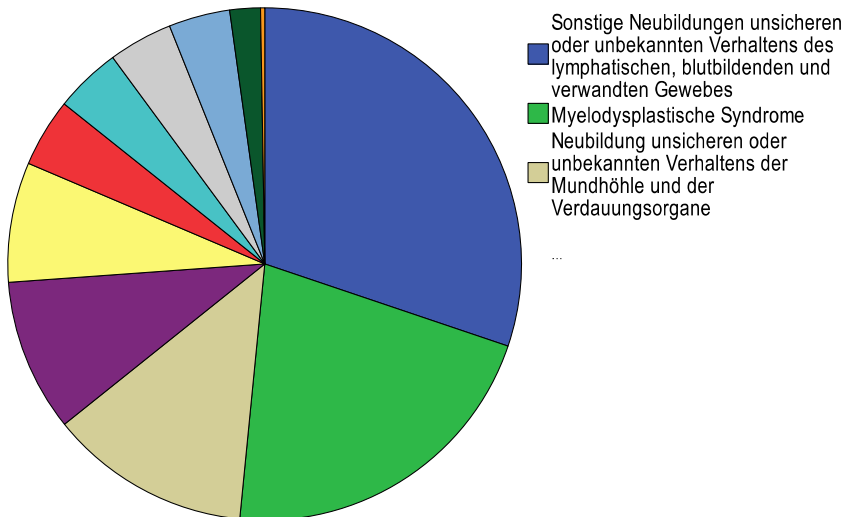


## Neubildungen unsicheren oder unbekanntem Verhaltens D37- D48, exkl. D45, D47.1 und D47.3

Diagnosejahre  
2013 bis 2017

## Verteilung der ICD10

ICD-10	Bezeichnung	m	%m	w	%w	ges.	%ges.
D37	Neubildung unsicheren oder unbekanntem Verhaltens der Mundhöhle und der Verdauungsorgane	82	11,3	109	13,9	191	12,7
D38	Neubildung unsicheren oder unbekanntem Verhaltens des Mittelohres, der Atmungsorgane und der intrathorakalen Organe	30	4,1	28	3,6	58	3,8
D39	Neubildung unsicheren oder unbekanntem Verhaltens der weiblichen Genitalorgane	0	.	145	18,5	145	9,6
D41	Neubildung unsicheren oder unbekanntem Verhaltens der Harnorgane	37	5,1	26	3,3	63	4,2
D42	Neubildung unsicheren oder unbekanntem Verhaltens der Meningen	26	3,6	39	5,0	65	4,3
D43	Neubildung unsicheren oder unbekanntem Verhaltens des Gehirns und des Zentralnervensystems	29	4,0	32	4,1	61	4,0
D44	Neubildung unsicheren oder unbekanntem Verhaltens der endokrinen Drüsen	13	1,8	16	2,0	29	1,9
D46	Myelodysplastische Syndrome	178	24,6	144	18,4	322	21,4
D47	Sonstige Neubildungen unsicheren oder unbekanntem Verhaltens des lymphatischen, blutbildenden und verwandten Gewebes	263	36,3	192	24,6	455	30,2
D48	Neubildung unsicheren oder unbekanntem Verhaltens an sonstigen und nicht näher bezeichneten Lokalisationen	63	8,7	51	6,5	114	7,6
sonst.	sonstige Erkrankungen	4	,6	0	.	4	,3
	Gesamt	725	48,1	782	51,9	1507	.



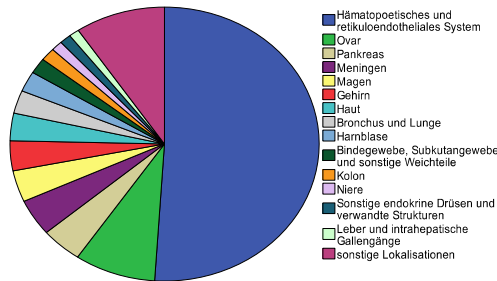
## Neubildungen unsicheren oder unbekanntem Verhalten D37- D48, exkl. D45, D47.1 und D47.3

## Diagnosejahre

2013 bis 2017

## Häufigkeit der Tumorerkrankungen nach der Lokalisation (ICD-O)

ICD-O	Bezeichnung	m	%m	w	%w	ges.	%ges.
C42	Hämatopoetisches und retikuloendotheliales System	438	60,4	331	42,3	769	51,0
C56	Ovar	0	.	128	16,4	128	8,5
C25	Pankreas	23	3,2	42	5,4	65	4,3
C70	Meningen	26	3,6	39	5,0	65	4,3
C16	Magen	29	4,0	27	3,5	56	3,7
C71	Gehirn	25	3,4	28	3,6	53	3,5
C44	Haut	38	5,2	11	1,4	49	3,3
C34	Bronchus und Lunge	23	3,2	18	2,3	41	2,7
C67	Harnblase	24	3,3	12	1,5	36	2,4
C49	Bindegewebe, Subkutangewebe und sonstige Weichteile	16	2,2	12	1,5	28	1,9
C18	Kolon	3	,4	20	2,6	23	1,5
C64	Niere	5	,7	13	1,7	18	1,2
C75	Sonstige endokrine Drüsen und verwandte Strukturen	9	1,2	9	1,2	18	1,2
C22	Leber und intrahepatische Gallengänge	9	1,2	7	,9	16	1,1
sonst.	sonstige Lokalisationen	57	7,9	85	10,9	142	9,4
	Gesamt	725	48,1	782	51,9	1507	.



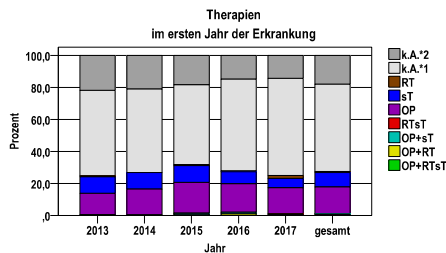
**Neubildungen unsicheren oder unbekanntem Verhaltens D37- D48, exkl. D45, D47.1 und D47.3****Histologische Häufigkeitsverteilung**

Bezeichnung	M-Code	N	%	gesamt
Myelodysplastisches Syndrom o.n.A.	9989/3	102	25,7%	6,8%
Refraktäre Anämie mit Blastenüberschuss	9983/3	87	21,9%	5,8%
Primäre Myelofibrose	9961/3	75	18,9%	5,0%
Refraktäre Zytopenie mit Mehrlinien-Dysplasie	9985/3	68	17,1%	4,5%
Refraktäre Anämie mit Sideroblasten	9982/3	34	8,6%	2,3%
Refraktäre Anämie	9980/3	17	4,3%	1,1%
Myelodysplastisches Syndrom mit 5q-Deletion (5q-)	9986/3	13	3,3%	0,9%
sonstige maligne Histologien		1	0,3%	0,1%
maligne Histologien gesamt		397		26,3%
Monoklonale Gammopathie unbestimmter Signifikanz	9765/1	368	44,0%	24,4%
Gastrointestinaler Stromatumor o.n.A.	8936/1	62	7,4%	4,1%
Atypisches Meningeom	9539/1	56	6,7%	3,7%
Muzinöser zystischer Tumor mit Borderline-Malignität	8472/1	49	5,9%	3,3%
Atypisches fibröses Histiocytom	8830/1	47	5,6%	3,1%
Seröses Zystadenom mit Borderline-Malignität	8442/1	45	5,4%	3,0%
Papilläre Neoplasie der Übergangszellen mit niedrigem Malignitätspotential	8130/1	31	3,7%	2,1%
sonstige unklare Dignität		179	21,4%	11,9%
unklare Dignität gesamt		837		55,5%
nicht histologisch gesichert		273		18,1%

Neubildungen unsicheren oder unbekanntem Verhaltens D37- D48, exkl. D45, D47.1 und D47.3

Therapien im ersten Jahr nach Diagnosenstellung

Jahr	OP+RTsT	OP+RT	OP+sT	RTsT	OP	sT	RT	k.A.*1	k.A.*2	gesamt	OP %
2013	0	1	0	0	35	27	2	140	57	262	13,4
2014	0	0	1	0	47	30	0	152	61	291	16,2
2015	0	1	3	1	69	38	2	179	66	359	19,2
2016	0	3	3	0	58	24	2	185	48	323	18,0
2017	0	0	1	2	44	16	5	165	39	272	16,2
gesamt	0	5	8	3	253	135	11	821	271	1507	16,8
%	0	0	1	0	17	9	1	54	18	100	.



OP = Operation  
sT = systemische Therapie  
RT = Strahlentherapie  
k.A. = keine Angabe

k.A.\*1 = keine tumorspezifische Therapie, jedoch histologisch gesichert  
k.A.\*2 = keine tumorspezifische Therapie, nur klinische Sicherung des Tumors

Diagnosejahre
2013 bis 2017

Operationen im ersten Jahr nach Diagnosenstellung\*

OPS	Anzahl	%	OPS-Schlüssel Version 2015
5-653	59	22,2	Salpingoovariektomie
5-683	55	20,7	Uterusexstirpation [Hysterektomie]
5-015	54	20,3	Exzision und Destruktion von erkranktem intrakraniellm Gewebe
5-573	28	10,5	Transurethrale Inzision, Exzision, Destruktion und Resektion von (erkranktem) Gewebe der Harnblase
5-433	17	6,4	Lokale Exzision und Destruktion von erkranktem Gewebe des Magens
5-434	14	5,3	Atypische partielle Magenresektion
5-455	8	3,0	Partielle Resektion des Dickdarmes
5-035	6	2,3	Exzision und Destruktion von erkranktem Gewebe des Rückenmarkes und der Rückenmarkshäute
5-435	6	2,3	Partielle Magenresektion (2/3-Resektion)
5-470	4	1,5	Appendektomie
5-651	4	1,5	Lokale Exzision und Destruktion von Ovarialgewebe
5-652	4	1,5	Ovariectomie
5-451	3	1,1	Lokale Exzision und Destruktion von erkranktem Gewebe des Dünndarmes
5-454	3	1,1	Resektion des Dünndarmes
5-563	3	1,1	Exzision und Destruktion von erkranktem Gewebe des Ureters, Ureterresektion und Ureterektomie
5-437	2	,8	(Totale) Gastrektomie
5-482	2	,8	Perianale lokale Exzision und Destruktion von erkranktem Gewebe des Rektums
5-554	2	,8	Nephrektomie
5-622	2	,8	Orchidektomie
5-077	1	,4	Exzision und Resektion des Thymus
5-322	1	,4	Atypische Lungenresektion
5-342	1	,4	Exzision und Destruktion von erkranktem Gewebe des Mediastinums
5-422	1	,4	Lokale Exzision und Destruktion von erkranktem Gewebe des Ösophagus
5-426	1	,4	(Totale) Ösophagektomie mit Wiederherstellung der Kontinuität
5-436	1	,4	Subtotale Magenresektion (4/5-Resektion)
5-452	1	,4	Lokale Exzision und Destruktion von erkranktem Gewebe des Dickdarmes
5-471	1	,4	Simultane Appendektomie
5-484	1	,4	Rektumresektion unter Sphinktererhaltung
5-485	1	,4	Rektumresektion ohne Sphinktererhaltung
5-547	1	,4	Resektion von Gewebe in der Bauchregion ohne sichere Organzuordnung
5-553	1	,4	Partielle Resektion der Niere
5-621	1	,4	Exzision und Destruktion von erkranktem Gewebe des Hodens
gesamt	266	.	

gesamt = Anzahl der operierten Fälle (entspricht der OP-Anzahl der vorhergehende Tabelle); Mehrfachnennungen bei den OPS-Nummern sind pro Fall möglich; Prozentzahl bezieht sich auf den Anteil an den operierten Gesamtfällen

## Neubildungen unsicheren oder unbekanntens Verhaltens D37- D48, exkl. D45, D47.1 und D47.3

<b>Diagnosejahre</b>
2013 bis 2017

## Systemische Therapien im ersten Jahr nach Diagnosenstellung

Beschreibung	Typ	Anzahl	%
Azacitidin	C	67	45,9
Hydroxycarbamid	C	23	15,8
Lenalidomid	C	9	6,2
Medikament o. n. A.	C	9	6,2
Cytarabin	C	8	5,5
Busulfan, Fludarabin	C	6	4,1
Bortezomib, Melphalan, Prednisolon	C	5	3,4
Cytarabin, Daunorubicin	C	4	2,7
Anagrelid	C	3	2,1
Cytarabin, Fludarabin, Mitoxantron	C	2	1,4
Melphalan	C	2	1,4
Decitabin	C	2	1,4
Bortezomib, Cyclophosphamid	C	2	1,4
Carboplatin, Vincristin	C	2	1,4
Tamoxifen ztriat	H	2	1,4
Ruxolitinib	I	22	15,1
Imatinib	I	4	2,7
Rituximab	I	2	1,4
Antithymocyte globulin	I	2	1,4
gesamt Anzahl der Fälle		146	.

gesamt = Anzahl der therapierten Fälle; Mehrfachnennungen von Therapien sind pro Fall möglich;  
Prozentzahl bezieht sich auf den Anteil an den systemisch therapierten Gesamtfällen

\*Bei Eintritt eines Rezidivs werden weitere Therapien nicht ausgewiesen.

## Protokolltyp:

CM – Monochemoth.

CP – Polychemoth.

C – Chemotherapie o.n.A.

IC – Immun-/Chemoth.

H – Hormontherapie

I – Immuntherapie

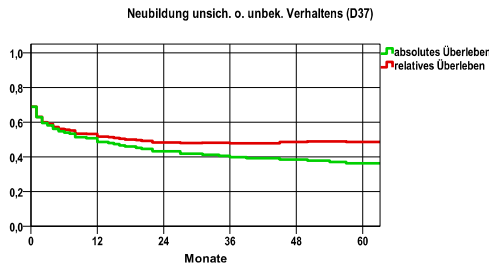
IU – unspezif. Immunth.

IS – spezif. Immunth.

**Neubildungen unsicheren oder unbekanntem Verhaltens D37- D48, exkl. D45, D47.1 und D47.3**

<b>Diagnosejahre</b>
2009 bis 2014

**Überleben: Mundhöhle und Verdauungsorgane (D37)**

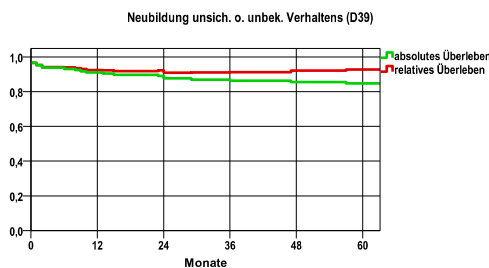


Jahr	beob. Überl.	rel. Überl.	95%-KI ±	N	zens. %
1	48,6	51,6	8,1	148	,0
2	43,2	48,2	8,0	.	,0
3	39,9	47,8	7,9	.	,0
4	38,5	48,5	7,8	.	1,4
5	36,2	48,7	7,8	.	28,4

mediane Überlebenszeit  
1,4 Jahre

nur Ersterkrankungen

**Überleben: weibliche Genitalorgane (D39)**

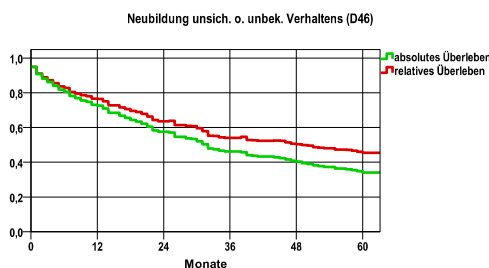


Jahr	beob. Überl.	rel. Überl.	95%-KI ±	N	zens. %
1	91,1	92,5	4,6	146	,0
2	87,7	91,0	5,3	.	,0
3	86,3	91,3	5,6	.	,0
4	85,6	92,2	5,7	.	6,2
5	84,8	92,8	5,9	.	62,3

mediane Überlebenszeit  
>5,0 Jahre

nur Ersterkrankungen

**Überleben: myelodysplastische Syndrome (D46)**

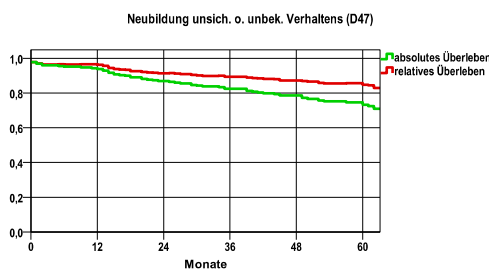


Jahr	beob. Überl.	rel. Überl.	95%-KI ±	N	zens. %
1	72,7	76,5	5,7	238	,0
2	57,6	63,6	6,3	.	,0
3	46,2	54,1	6,3	.	,0
4	40,3	50,4	6,2	.	,4
5	34,1	45,4	6,2	.	16,0

mediane Überlebenszeit  
4,1 Jahre

nur Ersterkrankungen

**Überleben: lymphatischen, blutbildenden und verwandten Gewebes (D47, exkl. D47.1 und D47.3)**



Jahr	beob. Überl.	rel. Überl.	95%-KI ±	N	zens. %
1	93,9	96,3	3,1	229	,0
2	86,9	91,4	4,4	.	,0
3	82,5	89,3	4,9	.	,0
4	78,6	87,3	5,3	.	5,2
5	73,3	84,7	5,9	.	32,8

mediane Überlebenszeit  
>5,0 Jahre

nur Ersterkrankungen



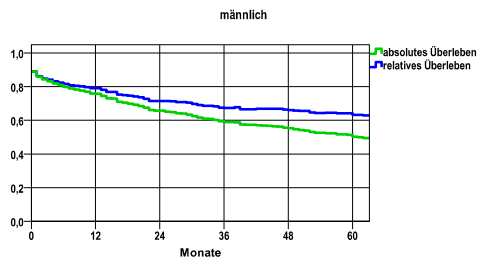
**Neubildungen unsicheren oder unbekanntem Verhaltens D37- D48, exkl. D45, D47.1 und D47.3**

Diagnosejahre
2009 bis 2014

**Überleben gesamt, männlich**

Jahr	beob. Überl.	rel. Überl.	95%-KI ±	N	zens. %
1	75,8	79,1	3,8	483	,0
2	65,8	71,5	4,2	.	,0
3	59,0	67,3	4,4	.	,0
4	55,3	66,1	4,4	.	2,3
5	50,3	63,2	4,6	.	23,8

nur Ersterkrankungen



**mediane Überlebenszeit**

>5,0 Jahre

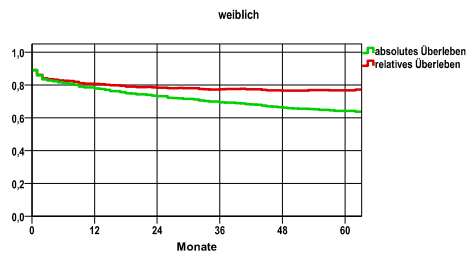
**Vergleichswert ( 5-Jahres-Überleben)**

verwendete Sterbetafel:
Sachsen 1995-2016

**weiblich**

Jahr	beob. Überl.	rel. Überl.	95%-KI ±	N	zens. %
1	77,8	80,6	3,4	586	,0
2	73,0	78,4	3,6	.	,0
3	69,5	77,3	3,7	.	,0
4	66,2	76,5	3,8	.	3,4
5	64,2	76,7	3,9	.	39,2

nur Ersterkrankungen



**mediane Überlebenszeit**

>5,0 Jahre

**Vergleichswert ( 5-Jahres-Überleben)**